

MUNIBE (Antropologia-Arkeologia)	nº 60	243-252	SAN SEBASTIÁN	2009	ISSN 1132-2217
----------------------------------	-------	---------	---------------	------	----------------

Recibido: 2009-07-13
Aceptado: 2009-10-05

Estudio Preliminar de los restos humanos hallados en la necrópolis principal de Sharuna (Universidad de Tübingen/Museu Egipci de Barcelona, campañas 2006-2008)

Preliminary report of the anthropological remains from the Necropolis of Sharuna (Museu Egipci de Barcelona / Universidad de Tübingen, 2006-2008 archaeological seasons)

PALABRAS CLAVES: Egipto, Reino Antiguo, Sharuna, Necropolis, Paleopatología.

KEY WORDS: Egipto, Reino Antiguo, Sharuna, Necropolis, Paleopatología.

GAKO-HITZAK: Egipto, Antzinako Erreinua, Sharuna, Nekropolisa, Paleopatología.

**Albert ISIDRO⁽¹⁾, Luis Manuel GONZÁLVIZ⁽³⁾, Mariàngela TAULÉ⁽³⁾, Lourdes MORET⁽²⁾
Emma GONZÁLVIZ⁽³⁾, Ignasi GALTÉS⁽⁴⁾, Xavier JORDANA⁽⁴⁾ y Assumpció MALGOSA⁽⁴⁾**

RESUMEN

Desde el año 2006 el Museu Egipci de Barcelona conjuntamente con el Instituto Egipcio de la Universidad de Tübingen excava en el yacimiento arqueológico de Sharuna en el Egipto Medio. Esta enorme necropolis ha sido objeto de estudio durante el siglo XX principalmente a través de los trabajos del polaco Tadeus Smolenski.

Esta publicación se centra en los hallazgos antropológicos de la principal estructura de la necropolis, la Tumba U.20 de finales del Reino Antiguo y situada junto a la tumba del faraón Pepianj Jui de la dinastía VI.

Durante las campañas entre el 2006 y el 2008 fueron identificados 218 individuos la mayoría de ellos en estado fragmentario y en muchos casos parcialmente momificados. Se destacan las patologías más prevalentes de dicha población entre las que destacan: un 25% de artropatías degenerativas del esqueleto axial; un 15.5% de anomalías congénitas; un 15.5% de entesopatías; un 12% de osteocondritis y un 10% de infecciones. También son descritos 14 individuos localizados en el interior de otros tantos hipogeos y excavados durante la última campaña.

ABSTRACT

From 2006 the Museu Egipci de Barcelona works together with the Egyptian Institut of Tübingen University in the archaeological site of Sharuna in the Middle Egypt. This huge necropolis has been reported during the XX century mainly by Tadeus Smolenski from the Polish mission. This report has been focused in the anthropological remains (skeletons and mummies) found at U.20 Tomb, that is the main build around the necropolis dated on the final of the Old Kingdom, and located near to the Pepianj Jui Tomb (pharaoh of the VI dynasty).

During the 2006 to 2008 archaeological season a total of 218 individuals were identified, the majority of them with no anatomical connection.

The most prevalent pathologies were: 25% of degenerative diseases of the axial skeleton; 15.5% of congenital abnormalities; 15.5% of enthesopathies; 12% of osteochondritis and near 10% of bone infection. Also, 14 individual found inside or near hypogees buried during the last season are described.

LABURPENA

2006an, Batzelonako Museu Egipci eta Tübingengo Unibertsitateko Egiptoar Institutuak Egipto Ertaieran dagoen Sharunako aztarnategi arkeologikoa induskatu zuten elkarlanean. Nekropoli handi hori XX. mendean ikertu zuten gehien bat; Tadeus Smolenski poloniarren lanei esker, batez ere.

Argitalpen honetan nekropoliko egitura nagusiko aurkikuntza antropologikoak izango ditugu hizpide, hala nola VI. dinastiako Pepianj Jui faraoiaren hilobiaren ondoan dagoen antzinako erresumako U.20 hilobia.

2006 eta 2008 bitartean egindako kanpainetan, 218 gizaki identifikatu zituzten ikertzaileek; gehienak ez zeuden osorik eta beste askok hainbat zati momifikatuta zituzten. Gizaki haiek garaiko patologia garrantzitsuenak zituzten; besteak beste, %25ek eskeleto axialaren endekapenezko artropatiak, %15.5ek jaiotzetiko anomaliak, %15.5ek entesopatiak, %12k osteocondritis eta %10ek infekzioak. Horiez gain, azken kanpainan induskatutako 14 hipogeotan aurkitutako beste hainbeste gizaki ere deskribatu zituzten.

⁽¹⁾ Hospital Universitari Sagrat Cor, Unitat d'Antropologia Biologica UAB.

⁽²⁾ ArqueoCiència

⁽³⁾ Museu Egipci de Barcelona / FAC

⁽⁴⁾ Unitat d'Antropologia Biologica UAB

1.- INTRODUCCIÓN

Los proyectos de investigación arqueológica en Egipto constituyen uno de los ámbitos de interés y actividad que desde el año 1992 ha potenciado y desarrollado el Museu Egipci de Barcelona.

Así, desde el año 2006, la entidad barcelonesa colabora científica y económicamente con la Misión que el Instituto de Egiptología de la Universidad de Tübingen tiene desde hace más de dos décadas en el yacimiento arqueológico de Sharuna, sobre la ribera oriental del Nilo, a unos 200 Km. al sur de El Cairo; tiene una extensión aproximada de 17 Ha, y las principales fases de ocupación se sitúan en el Reino Antiguo, el período ptolemaico y la época bizantina. Los restos arqueológicos estuvieron asociados a la desaparecida localidad de Hut-nesut, cuyo nombre se encuentra documentado desde finales del Reino Antiguo y que a comienzos de del Reino Medio, en la Capilla Blanca de Sesostris I, figuraba como la capital del nomo XVIII del Alto Egipto. En época Ptolemaica, según la Gran Lista de Edfu, Hut-nesut, ejerció como ciudad principal del nomo XVII. Otra mención importante de esta localidad la encontramos en la *Estela de la Victoria* del faraón nubio Pianji (Piy), sin olvidar tampoco que es al Horus de Hut-nesut a quien el faraón Horemheb atribuye el hecho de haber podido convertirse en faraón de Egipto.

El yacimiento fue mencionado por primera vez en 1835 por Wilkinson y tres años después, en 1838, Néstor l'Hôte señaló la presencia de un arrasado templo ptolemaico y describió la tumba más importante del yacimiento, la de Pepianj-Jui (dinastía VI). En 1907 la zona fue objeto de un extenso trabajo de excavación dirigido por el arqueólogo polaco Tadeus Smolenski; numerosos bloques decorados procedentes del referenciado templo ptolemaico se encuentran actualmente en Budapest. Muy poca actividad se produce a partir de ese momento hasta que en 1976, debido a la proliferación de robos y saqueos en esta zona, el Servicio de Antigüedades de Egipto organiza trabajos de excavación que ponen al descubierto numerosas tumbas a la vez que restaura y protege la tumba de Pepianj-Jui. Desde 1984 hasta 1989 Farouk Gomaà y Wolfgang Schenkel (Instituto de Egiptología de la Universidad de Tübingen) asumen los trabajos científicos en el yacimiento. En 1990 Beatrice Hüber toma el relevo en la dirección de los trabajos, que se concentran en un pequeño

sector con restos de hábitat faraónico y la excavación de una basilica bizantina y el monasterio copto de Deir el-Qarabin.

2- TRABAJOS EN LA NECRÓPOLIS PRINCIPAL (2006-2008)

Además de diversas tareas de conservación-restauración en algunas tumbas, el trabajo del equipo del Museu Egipci de Barcelona durante las tres primeras campañas se ha centrado en la excavación y la documentación de la necrópolis principal de Sharuna, como continuación de los objetivos planteados en su día por Gomaà y Schenkel. En el sector afectado han sido puestas al descubierto varias tumbas, algunas de ellas grandes estructuras con diferentes fases de utilización (Fig. 1). La más importante es la denominada U-20, una imponente tumba (más de 300 m² de superficie) de finales del Reino Antiguo con un dromos de acceso, un gran patio porticado y dos capillas de culto excavadas por completo en el substrato geológico (Fig. 2). Hasta 20 hipogeos se han localizado en el patio (H-1 a H-10) y en las dos capillas (H-11 a H-20) de esta estructura, correspondiendo a una utilización que se extiende desde el final del Reino Antiguo hasta comienzos del Reino Medio, fechas deducidas tanto a partir de la morfología de los pozos y cámaras sepulcrales como de los pocos pero significativos restos de objetos utilizados como equipamiento funerario (recipientes cerámicos, fragmentos de sarcófago o maquetas) (Fig. 3). Al Este del acceso principal al complejo de U-20 se han descubierto otras dos tumbas. La primera de ellas (W-21) es una pequeña estructura formada por un patio, una capilla de culto y dos hipogeos; por su forma y por la presencia de una estela "falsapuerta" anepigráfica en el patio, sería más o menos contemporánea al momento inicial de U-20. Algo más allá, un nuevo complejo funerario (V-21a), fue especialmente utilizado en época ptolemaica para la instalación en dos cámaras sepulcrales (H-1 y H-2) de ocho sarcófagos de piedra y su contenido (Fig. 4).

Por lo que respecta a la presencia de restos humanos hallados, el alto nivel de reutilización y saqueo que ha padecido el yacimiento ha determinado la naturaleza y estado de conservación de las piezas, lo cual ha dificultado su estudio tanto a nivel individual como cualquier intento de efectuar un mínimo análisis de tipo poblacional.

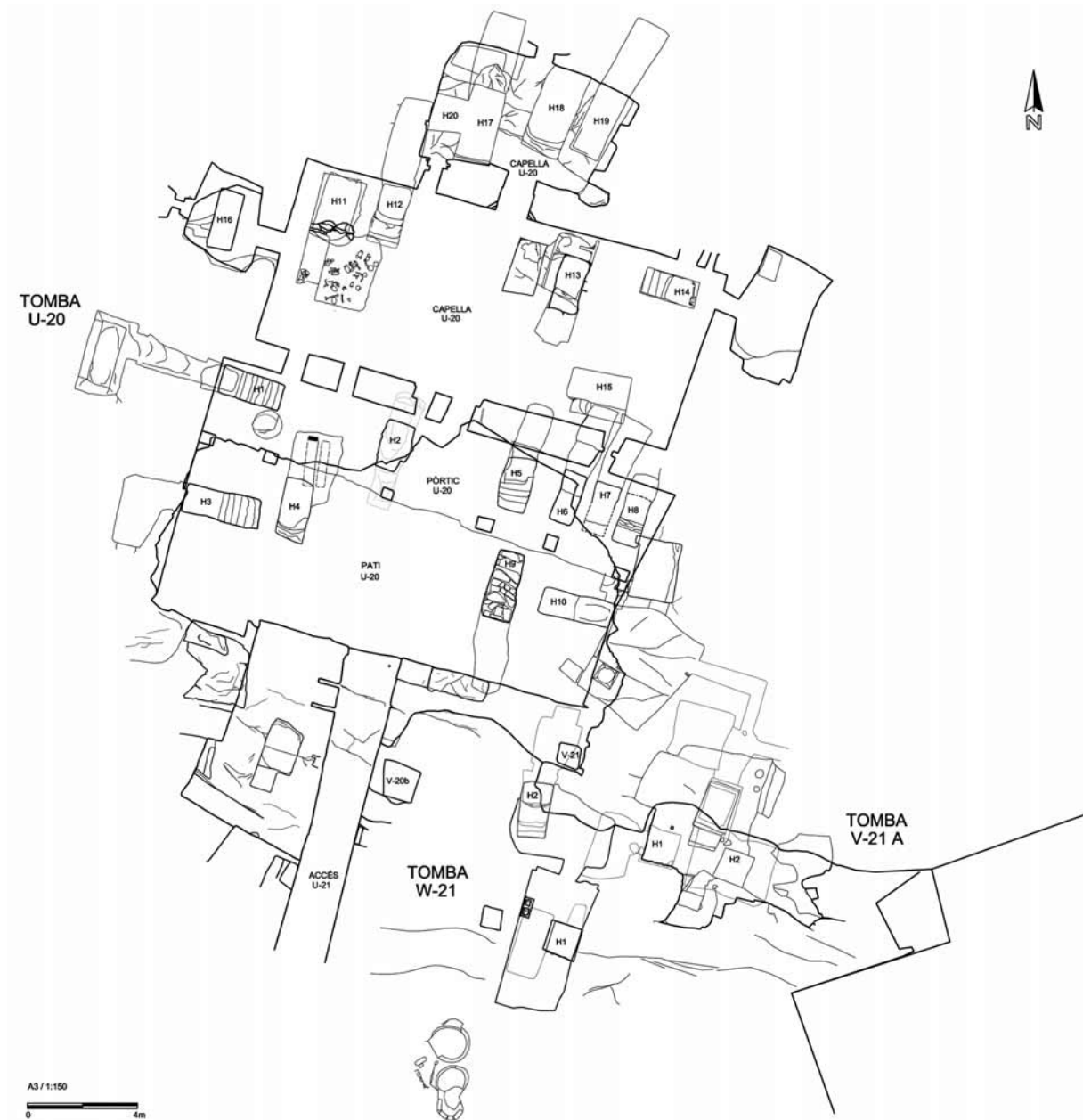


Fig. 1. Planta general de la tumba U.20 de Imperio Antiguo – Primer Período Intermedio, con la zona de acceso y los diferentes hipogeos documentados hasta la fecha. En la parte sur-este del complejo se aprecian las tumbas W.21 y V.21A.



Fig. 2. Acceso (U.21), patio y pórtico de la tumba U.20.



Fig. 3. Recipientes cerámicos completos extraídos durante las excavaciones y característicos de finales del Imperio Antiguo.



Fig. 4. Sarcófagos ptolemaicos "in situ" pertenecientes a uno de los hipogeos localizados en la tumba V.21A.

Los restos óseos han aparecido normalmente de forma inconexa durante el proceso de excavación, aunque en determinados casos se han podido documentar individuos completos y en conexión anatómica (Fig. 5).

A partir de los restos obtenidos se intenta recomponer y, si esto no es posible como por desgracia generalmente ocurre, se hace lo posible por determinar el número de individuos y analizar alguna variable antropológica básica como el sexo, la edad y la talla.

3- RESULTADOS DEL ESTUDIO ANTROPOLÓGICO Y PALEOPATOLÓGICO

El estudio antropológico y paleopatológico de los restos humanos encontrados durante las diferentes campañas lo podemos dividir en dos capítulos diferenciados: en primer lugar analizaremos los que aparecen fuera del que fue su contexto de



Fig. 5. Restos parcialmente momificados y en conexión anatómica de al menos 4 individuos (2 infantiles) hallados en el interior del hipogeo H13 situado en la zona este del patio de U.20.

enterramiento original, mayoritariamente huesos aislados, muchas veces fragmentados, que se encuentran en estratos formados por la reiterada

alteración de los rellenos originales de las cámaras, galerías y pozos que constituyen los hipogeos. En segundo lugar, se tratarán aquellos menos alterados por acciones posteriores a su ubicación original o que a pesar de estar alterados pueden asociarse con un contexto concreto. Es el caso de los que se han localizado en el interior de las cámaras sepulcrales, dentro o fuera de elementos de contención (sarcófagos de madera o piedra).

1/ Estudio del Primer Grupo (restos humanos fuera de su ubicación original)

Durante las campañas del 2006, 2007 y 2008 se han podido identificar los restos pertenecientes a un total de 218 individuos (37 en el 2006; 72 en el 2007 y 109 en el 2008), muchos de ellos en estado fragmentario y sin un contexto claro en cuanto a su lugar original de enterramiento. Del estudio paleopatológico básico de estos restos se han obtenido los siguientes resultados:

- 24.8% de artropatía degenerativa del esqueleto axial. Esta alteración está presente predominantemente en el segmento lumbar tanto por lo que respecta a la presencia de formaciones osteofíticas/sindesmofíticas de los cuerpos vertebrales como en la artrosis de las articulaciones posteriores. Es muy frecuente en este segmento así como también en el segmento torácico la presencia de Hernias de Schmorl. Se ha constatado en numerosos individuos la calcificación interlaminar del ligamento amarillo (*flavum*).

- 15.5% de anomalías congénitas. Estas anomalías pueden o no estar asociadas a patología. Los casos de anomalías leves como las craneales (presencia de sutura metódica, presencia de huesos wormianos, etc) nos indican la ausencia de repercusión en la salud del individuo. Otras sí que pueden estar relacionadas con posibles patologías como en los casos en los que se ha podido objetivar espondilolisis lumbar en individuos adultos.

- 15.5% de lesiones enthesopáticas (Fig. 6). Son frecuentes las enthesopatías por tracción en huesos de ambas extremidades principalmente por lo que respecta a la extremidad superior en la zona de inserción proximal del tríceps braquial de la zona subglenoidea de la escapula, la inserción distal del mismo músculo en el olécranon del cubito, la inserción del bíceps braquial en la tuberosidad radial. En la extremidad inferior son frecuentes los procesos enthesopáticos del aparato extensor de la pierna centrados en las lesiones que puede-



Fig. 6. Diversas enthesopatías en cubito proximal y distal y en ambas patelas en un mismo individuo.

mos ver en los polos proximales y distales de la rotula, la inserción del tendón rotuliano en la tuberosidad anterior de la tibia y los espolones calcáneos y aquileos en la tuberosidad posterior de dicho hueso.

- 11.9% de lesiones osteocondrales. Estas zonas de necrosis avascular del cartílago articular fruto de impactaciones repetidas (microtraumatismos) o menos frecuentemente a fracturas condrales pueden ser observadas en numerosos individuos tanto en la extremidad superior (glenoides escapular, cabeza del radio, cavidad articular del cubito, radio distal; como en la inferior (condilos femorales, patela, talus, articulación subastragalina, hueso navicular, y articulación metatarso-falángica del hallux)

- 10.1% de infecciones (Fig. 7): Excepto algunos casos muy sugestivos de infección tuberculosa (columna vertebral, carpo anquilótico), las



Fig. 7. Fusión de un segmento de la charnela dorso-lumbar debido a una espondilitis tuberculosa (Mal de Pott).

demás sospechas de osteítis son indeterminadas en cuanto a su etiología. Es de destacar la presencia de 4 individuos juveniles con signos de artritis séptica en las articulaciones de rodilla y codo)

- 4.6% de fracturas. Es significativo el bajo número de fracturas que presentan los individuos estudiados. No hemos observado falta de consolidación en ninguna de ellas

- 3.9% de artropatías en las extremidades inferiores. Más significativa si cabe es la escasa prevalencia de artrosis en cadera y rodilla que hemos observado en los individuos adultos del conjunto analizado.

- 3.7% de tumores benignos. Principalmente son osteomas. No hemos podido observar la presencia de tumores malignos primarios de hueso ni de lesiones que nos hagan pensar en la presencia de metástasis de neoplasias a distancia.

- 3.1% de artropatías de extremidades superiores. Poca repercusión de esta patología centrada predominantemente en el carpo distal y la articulación trapecio-metacarpiana (rizartrosis), cabe destacar la ausencia casi total de artropatía degenerativa en la articulación gleno-humeral.

- 2.7% de fenómenos porosos. Pocas cribas orbitales francas y fenómenos porosos en cuello de fémur y humero han podido ser constatadas en los individuos analizados.

- 1.8% de lesiones ocasionadas por violencia. Son generalmente lesiones por arma blanca. 2 casos con signos de supervivencia y uno sin ellos. Todas estas lesiones han sido observadas en el cráneo

Conjuntamente se pudieron estudiar un total de 46 individuos parcialmente momificados destacando entre estos restos la presencia de una masa momificada adherida a un sacro y a la L5 que puede corresponder por su morfología a un útero grávido. También es destacable un resto de cerebro adherido a la parte interna de la zona occipitoparietal en el que se puede observar los vasos meníngeos que coinciden con las improntas de la calota craneal así como la presencia de restos de diploe incluidos en la masa cerebral.

2/ Estudio del Segundo Grupo (restos humanos asociados a su ubicación original)

Los restos humanos en los cuales sí se ha podido determinar el lugar original de su colocación tras la muerte se han estudiado parámetros

básicos antropológicos como el sexo (basándonos en discriminantes craneales, pélvicos y de robustez de los huesos), el grupo de edad aproximado (en base al cierre o no de los cartílagos de crecimiento, a la fase de fusión de suturas craneales, a la irrupción del tercer molar y a signos indirectos como el estado articular) y la estatura (en aquellos casos en los que se ha podido determinar la longitud de huesos largos como el fémur, la tibia y el húmero (tablas de Manouvrier y Trotter & Glasser).

3.1. Campaña 2006

Individuo 1162 (Tumba U-20, H- 4) (Fig. 8)

Mujer adulta. Presenta irregularidades anteriores en la columna torácica y lumbar sin una etiología definida, coxa valga bilateral y una brevedad anatómica del cuello de los dos astrágalos en el pie.

Individuo 1163 (Tumba U-20, H- 4) (Fig. 8)

Varón juvenil. Presenta un foramen olecranio-abierto bilateral en la zona distal de los húmeros, una plica glenoidea en la escapula izquierda, una espina bifida en la primera vértebra sacra, una osteocondritis en el hueso navicular del pie derecho y una persistencia de la sutura frontal en el cráneo así como la presencia de huesos vormianos.

Individuo 1153 (Tumba U-20, H-9)

Individuo alofiso (sin sexo determinado). Presenta una dismorfogénesis lumbo-sacra en la primera vértebra sacra, un espolón Aquiles y calcáneo en el pie izquierdo, un foramen ocasionado por una posible osteítis (infección ósea) en el tubérculo para la inserción del tibial posterior del hueso navicular del pie derecho.

Individuo 1154 y 1154 bis (Tumba U-20, H-9)

Dos individuos, un varón adulto y una mujer juvenil. El varón adulto presenta una artrosis en el cuerpo de la 4ª vértebra cervical, una artropatía en la unión costo vertebral de la 8ª vértebra torácica, un espolón olecranio bilateral, una enthesopatía grado III de la tuberosidad bicipital del radio bilateral, una artrosis radio-cubital distal (muñeca), una osteítis del 5º dedo del pie izquierdo, una enthesopatía bilateral del tendón del cuádriceps en las rotulas y una artropatía interfalangica del dedo gordo del pie bilateral (hallux).

Individuo 1155 (Tumba U-20, H-9)

Varón adulto. Presenta una hipertrofia de los canales de paso de la musculatura extensora de



Fig. 8. Individuos esqueletizados, un varón y una mujer adulta, hallados en decúbito lateral izquierdo en el interior de un hipogeo durante la primera campaña de excavación.

la mano en el radio distal izquierdo, una artrosis en el codo, un DISH (*diffuse idiopathic skeletal hyperostosis*) que es la unión anterior de varios cuerpos vertebrales por la calcificación de los ligamentos anteriores, una artropatía y osteocondritis en la articulación temporo-mandibular bilateral y una cresta nugal en el occipital.

3.2. Campaña 2007

Individuo 2083 (Tumba U-20, H-13)

Individuo infantil II. Probable osteomielitis de la tibia proximal derecha con forámenes de drenaje (fistulas), criba orbitalia bilateral y lago venoso en el cuerpo de la 2ª vértebra lumbar.

Individuo 2084 (Tumba U-20, H-13)

Mujer adulta, longitud fémur D.: 435mm / estatura estimada 159.3cm Presenta un cráneo parcialmente momificado con preservación del lóbulo temporal y parietal del lado izquierdo en el cual se aprecia la impronta de la arteria meníngea media y de algunas de sus ramas las cua-

les coinciden con las marcas de la calota craneal. En el interior de la masa correspondiente al cerebro se pueden observar la inclusión de algunos restos óseos de calota craneal.

3.3. Campaña 2008

Individuo 2573 (Tumba V-21a, H-2, sarcófago 3):

Varón adulto. Esqueleto conservado hasta la zona lumbar en conexión anatómica. En el cráneo se han podido hallar restos de cerebro.

Individuo 2531 (Tumba V-21a, H-2, sarcófago 2):

Mujer adulta, longitud tibia D.: 315mm, estatura estimada 150.0cm. El cráneo muestra restos de vendaje y en el interior del sarcófago se ha podido encontrar una egagrópila.

Individuo 2528 y 2528 bis (Tumba V-21a, H-2, sarcófago 1): Dos individuos: una mujer juvenil con un humero D. cuya longitud es de 282mm (estatura estimada 157.2cm). Alguna costilla preserva partes blandas y un esqueleto infantil II que muestra una osteomielitis en 10 vértebras torácicas y 4 lumbares.

Individuo 2557 (Tumba V-21a, H-1, sarcófago 5):

Mujer adulta? (por las características de robustez de las tibias), longitud tibia D.: 304mm, estatura estimada 147.0cm. Solo se preserva los huesos de tibia hacia distal.

Individuo 2569 (Tumba V-21a, H-1, sarcófago 7):

Varón adulto completo en posición anatómica de decúbito supino y con el fémur izquierdo migrado hacia la cavidad torácica derecha (Fig. 9). Longitud fémur D.: 435mm, estatura estimada



Fig. 9. Sarcófago 7 de la tumba V.21a de con un individuo (2569) en su interior, los restos corresponden a un varón adulto.

164.8cm. Presenta como patologías una necrosis avascular de la cabeza del húmero derecho y una necrosis avascular de ambos hueso naviculares del pié (Síndrome de Miller-Weis) lo que conlleva hacia una artrosis mediotarsiana.

Individuo 2567 (Tumba V-21a, H-1, sarcófago 4):

Mujer juvenil, longitud tibia D.: 396mm, estatura estimada 167.8cm. Presenta como patología destacable una artritis del codo derecho sugestiva de afectación tuberculosa.

Individuo 2571 (Tumba V-21a, H-2, sarcófago 6):

Individuo alofiso. Fístula articular calcáneo-cuboidea en el pie izquierdo.

4-APROXIMACIÓN A LA ETIOLOGÍA DE ALGUNAS DE LAS PATOLOGÍAS PRESENTES EN DETERMINADOS INDIVIDUOS.

En algunos individuos es posible atisbar el origen de las patologías o incluso la causa de muerte. Dentro de la precariedad de los métodos utilizados, fundamentalmente la inspección, podemos evaluar algunos de los esqueletos.

Algunos individuos muestran claros signos de sobrecarga articular en varias de sus articulaciones principalmente de los brazos, como es el caso de 1154 y 1155, ambos varones adultos, circunstancia que nos hace pensar en trabajos duros durante su vida como la carga de objetos pesados en el hombro (cresta nugal del individuo 1155). El individuo infantil 2083 presenta una posible infección ósea en la tibia además de un signo indirecto de sufrir un episodio de anemia o malnutrición, como es la criba orbitalia, que bien puede ser secundario a su proceso infeccioso.

El otro caso de individuo infantil (2528) del sarcófago 1, las señales que muestra de destrucción ósea en gran parte de la columna debidas una infección son con toda seguridad la causa de muerte. El individuo mejor preservado corresponde al sarcófago 7 (2569) y presenta una necrosis avascular parcial o total en tres huesos de su organismo. El origen de estas necrosis bien puede estar relacionada con fenómenos tromboembólicos de pequeños vasos secundarios a enfermedades sistémicas como por ejemplo la diabetes.

El caso más curioso debido al estado de preservación de los restos cerebrales en los cuales se puede hacer una imagen especular entre el

cerebro y la calota craneal es la mujer adulta (2083) (Fig. 10). La presencia de trozos de calota craneal incluidos en el interior del tejido cerebral momificado nos hace pensar que dicho individuo sufrió un traumatismo accidental en la cabeza o una agresión con la consiguiente fractura en estallido del cráneo y la asimilación de los restos óseos en el interior del magma cerebral previo a su momificación.



Fig. 10. Imagen "en espejo" de un interior de calota craneal de la zona temporo-parietal y de un fragmento de masa cerebral momificada en cuya superficie se observan claramente los vasos meningeos.

5. BIBLIOGRAFÍA

BRODRICK, M. Y MORTON, A.A.

1899 The Tomb of Pepi Ankh (Khua) , near Sharona, *PSBA* 21: 26-33.

GESTERMAN, L.; GOMAA, F.; HEILIGMANN, B.; JÜRGENS, P. Y SCHENKEL, W.

1992 Al-Köm al-ahmar/Särūna 1991, *GM* 127, 89-111.

GONZÁLVEZ, L.M.

2007 Kom el-Ahmar/Sharuna. Primera campaña de la Misión de la Universidad de Tübingen/Museu Egipci de Barcelona, en *ArqueoClub* 8, pp. 18-21, Barcelona.

GONZÁLVEZ, L.M.

2008 Kom el-Ahmar/Sharuna. Segunda campaña de la Misión de la Universidad de Tübingen/Museu Egipci de Barcelona, en *ArqueoClub* 9, pp. 20-23, Barcelona.

GONZÁLVEZ, L.M.

en prensa Kom el-Ahmar/Sharuna. Tercera campaña de la Misión de la Universidad de Tübingen/Museu Egipci de Barcelona, en *ArqueoClub* 10, pp. 21-23, Barcelona.

GONZÁLEZ, L.M.; BELMONTE, C.; TAULÉ, M.; GOMAA, F.;
HUBER, B. Y GAMARRA, A.

en prensa Los trabajos de la Universidad de Tübingen en Kom al-Ahmar/Sharuna. La participación del Museu Egipci de Barcelona en el año 2006, para el "III Congreso Ibérico de Egiptología". La Laguna (Tenerife).

HUBER, B.

1998 Al-Kom Al-Ahmar/Šaruna: decouverte d'une ville de province, en Eyre, C.J. (ed.): *Proceedings of the Seventh International Congress of Egyptologists*, Lovaina, 575-582.

HUBER, B.

2004 Die Grabkirche von Kom al-Ahmar bei Šaruna (Mittelägypten). *Archäologie und Baugeschichte*, en Immerzeel, M. y Van der Vliet (eds.): *Coptic Studies on the Threshold of a new Millennium II*, OLA 133, Lovaina, 1081-1103.

HUBER, B.

2004b Die Klosteranlage bei el-Kom el-Ahmar/Šaruna (Mittelägypten), en *BSAC* 43, 45-64.

HUBER, B.

2008 3000 ans d'histoire à Kom el-Ahmar/Šaruna, en *ArqueoClub* 9, pp. 24-28, Barcelona.

ISIDRO, A.

en prensa Sharuna 2006-2008. Estudio antropológico y paleopatológico. Resultados preliminares, en *ArqueoClub* 10, pp. 24-26, Barcelona.

L'HÔTE, N.

1840 *Lettres écrites d'Égypte en 1838 et 1839, contenant des observations sur divers monuments égyptiens nouvellement explorés et dessinés*, Paris.

SCHENKEL, W. Y GOMAA, F.

2004 *Scharuna I*, 2 vols. Mainz am Rhein.

SMOLENSKI, T.

1907 Le tombeau d'un prince de la Vie dynastie à Charouna, *ASAE* 8: 149-153.

SMOLENSKI, T.

1908 Les vestiges d'un temple ptolémaïque à Kom-el-ahmar près de Charouna, *ASAE* 9: 3-6.

SMOLENSKI, T.

1910 Nouveaux vestiges du temple de Kom-el-ahmar près de Charouna, *ASAE* 10: 26-27.

WILKINSON, SIR J.

1843 *Modern Egypt and Thebes*, Londres.